

Таким образом, можно заключить, что вибрация при определенных соотношениях частоты и амплитуды колебаний может быть фактором, подавляющим процесс газофазного горения полимерных материалов. Следует также отметить, что необходимы дополнительные исследования для детального изучения причин, вызывающих предельные явления при горении. С этой целью предполагается провести эксперименты по определению особенностей взаимодействия пламени (при неподвижном образце) с гармоническими колебаниями окружающей газовой среды.

ЛИТЕРАТУРА

1. Марголин А. Д., Крупкин В. Г. Докл. АН СССР, 1981, 257, 6.
2. Раушенбах Б. В. Вибрационное горение.— М.: Физматгиз, 1961.
3. Болдьян И. А., Мелихов А. С., Третьяков В. А. // Пожарная профилактика.— М.: ВНИИПО, 1979.— Вып. 13.
4. Рыбанин С. С., Соболев С. Л. ФГВ, 1983, 19, 4.

Поступила в редакцию 15/VI 1987,
после доработки — 15/IX 1987

УДК 614.841.41

ЭКСПЕРИМЕНТАЛЬНОЕ ОПРЕДЕЛЕНИЕ МАССОВОЙ СКОРОСТИ ВЫГОРАНИЯ ТВЕРДЫХ МАТЕРИАЛОВ

И. С. Молчадский, Н. К. Гриневицкий, Б. С. Лимонов,
В. С. Махин, А. Д. Голиков, В. М. Макаров,
А. Н. Бородин
(Москва)

Массовая скорость выгорания материалов — важнейшая количественная характеристика горения, в значительной степени определяющая изменение теплотехнических параметров пожара, его интенсивность и др. Известно, что массовая скорость выгорания материалов не является физико-химической константой, поэтому при использовании литературных данных для практических целей следует учитывать условия, в которых она определена, и в необходимых случаях вносить соответствующие поправки.

Анализ существующих методов определения скорости выгорания твердых материалов [1—4] показывает, что испытание материалов, как правило, проводится при их расположении в виде штабеля. Кроме того, не всегда обоснованы условия проведения экспериментов (характеристики штабеля, размер проемов, расход воздуха и др. параметры). Например, данные для одного материала (древесины) отличаются более чем в 5 раз [1—4]. Для твердых веществ и материалов существуют два понятия массовой скорости выгорания M : действительная, отнесенная к полной поверхности горения, и приведенная, отнесенная к площади пожара. Первая более точно характеризует способность материала к горению, но ее трудно определить из-за сложности точного учета фактической поверхности горения. На практике широко используется приведенная скорость выгорания, которая наиболее достоверно в настоящее время определяется экспериментально на крупномасштабных установках типа камера — весы [4].

В работе [5] приведены результаты крупномасштабных исследований, позволяющие прогнозировать изменение скорости выгорания древесины на реальных пожарах. Несмотря на достоверность данных [5], следует обратить внимание на большую трудоемкость проведения экспериментов и их высокую стоимость. А имея в виду большое разнообразие встречающихся в практике сгораемых материалов, следует признать нецелесообразность использования изложенного метода (крупномасштаб-

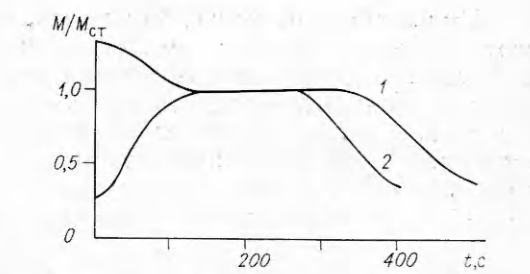
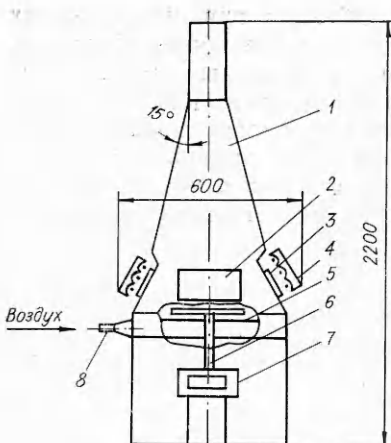


Рис. 2. Изменение массовой скорости выгорания во времени.
1 — штабель; 2 — плоский образец.

Рис. 1. Схема испытательной установки.

ные испытания) для определения массовой скорости выгорания всего перечня материалов, которые могут являться пожарной нагрузкой.

В настоящей работе рассматривается лабораторный метод определения приведенной скорости выгорания M , с помощью которого возможно получить данные, близкие к реальным, что позволяет прогнозировать динамику температурного режима, используя для этого ранее разработанный метод [6].

На рис. 1 приведена схема экспериментальной установки. Корпус 1 установки изготовлен из стали толщиной 3 мм, в котором имеется герметизирующая крышка со смотровым окном 2. Установка снабжена инфракрасными излучателями 4, собранными из кварцевых галогенных ламп марки КГТО 220-2500-2, и отражателем параболического типа из полированного алюминия, которые охлаждаются водой. Излучатели установлены напротив защитных стекол 3 марки КИ. Воздух подается через диффузор 8 под распределительную пластину 5, необходимую для устранения воздействия воздушной струи на чашку 6 весов 7, последняя изготовлена из алюминиевой пластины размером 150×150 мм, покрытой листом пеношамота толщиной 10 мм. В центральной части этого листа имеется углубление под чашку со спиртом (90×90×5 мм).

Плоские образцы материала воспламеняются газовой горелкой трубчатого типа, а штабеля — пламенем горящего метилового спирта. Потери массы образца во времени измеряются электронными весами ВБЭ-1, за-писываясь показатели на потенциометр КСП-4. Расход воздуха, поступающего в реакционное пространство, контролируется ротаметром типа РМ. Тепловые потоки, падающие на образцы, измеряются либо металлокалориметрическими датчиками, либо радиометром РОП-1Ф. Выбор условий проведения опытов со штабелями основывался на данных фундаментальной работы [5] по массовым скоростям выгорания древесины. Параметры штабеля выбирались таким образом, чтобы массовые скорости выгорания древесины совпадали с данными [5].

Для ограничения количества факторов выбирался штабель, имеющий в плане форму квадрата со стороной 120 мм. В этом случае оставались два безразмерных независимых фактора, характеризующих геометрию штабеля: отношение высоты штабеля к его ширине и отношение шага укладки брусков к ширине бруска.

В табл. 1 приведены рекомендуемые параметры штабеля размером 120×120 мм, состоящего из брусков шириной 10 мм. Приведенные параметры обеспечивают удовлетворительную сходимость результатов экспериментальных исследований с крупномасштабными испытаниями

Таблица 1

Толщина материала, мм	Количество брусков в слое, шт	Шаг брусков в слое, мм	Количество слоев
1—4	3	45	10
4—7	4	34	12
7—10	5	27	9

Таблица 2

Наименование материала	Толщина материала, мм	$M_{ct} \cdot 10^3$, кг/(м ² · с)	
		штабель	плоский образец
Фанера	10,0	8,90	19,35
Древесина сосны		6,25	4,62
ДВП	3,2	6,24	14,30
ДСП	10,0	5,75	5,60
ПММА	10,0	4,15	11,90 *
Пластик ГОСТ 9590-76	1,7	3,45	5,44
Пластик ТУ 6-05-1305-77	1,7	2,62	5,03
Пластик АБС-ПВХ ТУ 619241-84	2,2	2,05	10,72
ПВХ	1,2	0,85	6,47

* $q = 10$ кВт/м².

[5]. На лабораторной установке расход воздуха составлял 5—30 м³/ч, внешнее тепловое воздействие $q = 10 \div 20$ кВт/м². При выбранных размерах штабеля неоднородность поля тепловых потоков по поверхности штабеля не превышала 6 %.

Исследовались также плоские образцы при $q = 10 \div 20$ кВт/м². Все грани плоского образца, кроме одной наибольшей, покрывали алюминиевой фольгой либо силикатным kleem с дальнейшей просушкой. Образцы размещали в вертикальном положении, так как оно наиболее характерно для отделочных материалов. Анализ результатов однородности теплового поля в плоскости образца датчиками тепловых потоков позволил определить оптимальные размеры плоских образцов (200 × 80 мм). При этих размерах значения тепловых потоков в плоскости образца отличались не более чем на 10 %.

Значения M определялись по тангенсу угла наклона кривой убыли массы горящего материала. Типичные графики изменения массовой скорости выгорания для образцов и штабелей представлены на рис. 2. После зажигания штабеля величина M возрастает за счет прогрева брусков от факела пламени, а также увеличения поверхности горения, после чего она стабилизируется. На этом этапе выгорания, помимо того, что пламенем охватываются еще не горящие участки штабеля, уменьшается скорость выгорания уже горящего материала, а в целом масса штабеля убывает с постоянной скоростью. При охвате пламенем всего штабеля горение постоянно затрудняется из-за увеличения толщины карбонизированного слоя на поверхности материала, что в конечном итоге приводит к снижению M .

У плоских образцов в начальный момент времени наблюдается максимальная скорость выгорания, обусловленная предварительным нагревом поверхности образца внешним тепловым потоком и газовой горелкой. Далее происходят уменьшение значений M и выход на стационарный режим. Затем идет стадия догорания. Массовая скорость выгорания определяется величиной M_{ct} на стационарном участке.

Результаты экспериментальных исследований массовой скорости выгорания в стационарном режиме горения при $q = 20$ кВт/м² и скорости подачи воздуха 30 м³/ч приведены в табл. 2. Полученные данные показывают, что для штабелей наибольшие значения M_{ct} отмечались у материалов на основе древесины, наименьшие — у поливинилхлорида.

Сравнение скорости выгорания материалов в виде плоских пластин и штабелей показывает, что если материалы ранжировать по значениям M раздельно для штабелей и плоских образцов, то порядок ранжирования может быть различным. Для оценки возможности использования данных по скорости выгорания, полученных на лабораторной установке

Таблица 3

Материал	Толщина материала, мм	Коэффициент K	
		Фрагмент $3,7 \times 2,7 \times 3,2$ м	Установка $0,6 \times 0,6 \times 2,2$ м
Оргстекло	—	0,52	0,63
Текстолит	—	0,90	—
Синтетический каучук	—	0,31	—
Штапельное волокно в кипах (кипы различные)	—	1,01	—
ДСП	10,0	—	0,86
ДВП	3,2	—	0,93
ПВХ	1,2	—	0,13
Фанера	10,0	—	1,35
Пластик ГОСТ 9590-76	1,7	—	0,54
Пластик ТУ 6-05-1305-77	1,7	—	0,39
Пластик АБС-ПВХ ТУ 619241-84	2,2	—	0,31

(см. рис. 1), для условий реальных пожаров во ВНИИПО МВД СССР проведены исследования на фрагментах $6 \times 6 \times 6$ м, $3,7 \times 2,7 \times 3,2$ м и на установке $1,2 \times 1,2 \times 1,2$ м.

Экспериментальные исследования, проведенные с древесиной, оргстеклом, синтетическим каучуком, текстолитом показали, что безразмерная величина тепловыделения

$$\frac{\eta M Q_{hi}^p}{(\eta M Q_{hi}^p)_{max}} = f\left(\frac{t}{t_{max}}\right) \quad (1)$$

отличается для этих материалов не более чем на 14 % в развитой стадии горения, что лежит в области экспериментальной погрешности. Здесь η — коэффициент полноты горения; Q_{hi}^p — низшая теплота сгорания материала, кДж/кг; M — приведенная массовая скорость выгорания, кг/(м² · с); t — текущее время; t_{max} — время достижения максимального значения тепловыделения для данных условий испытаний. Из выражения (1) следует

$$(\eta_i M_i Q_{hi}^p)_t = (\eta_{dp} M_{dp} Q_{hi,dp}^p)_t \frac{(\eta_i M_i Q_{hi}^p)_{max}}{(\eta_{dp} M_{dp} Q_{hi,dp}^p)_{max}}, \quad (2)$$

где индекс др относится к древесине, i — к материалам, отличным от древесины. Комплекс $(\eta_{dp} M_{dp} Q_{hi,dp}^p)$ — известная функция для различных видов объемных пожаров [6]. Чтобы получить левую часть выражения (2), необходимо определить отношение $\frac{(\eta_i M_i Q_{hi}^p)_{max}}{(\eta_{dp} M_{dp} Q_{hi,dp}^p)_{max}}$, где $\left(\frac{\eta_i M_i}{\eta_{dp} M_{dp}}\right)_{max}$ — неизвестные величины. Значения η_{max} для органических материалов при одинаковых условиях горения различаются не более чем на 5—7 %, что позволяет записать

$$\left(\frac{\eta_i M_i}{\eta_{dp} M_{dp}}\right)_{max} = \left(\frac{M_i}{M_{dp}}\right)_{max} = K.$$

Для определения безразмерного коэффициента скорости выгорания K проведены эксперименты с разными материалами (табл. 3). На установке $1,2 \times 1,2 \times 1,2$ м получены значения K для следующих материалов: кабели марки КАШС и КНРП, $K = 1,8$; кабели марки ААШв, $K = 1,85$; оргстекло, $K = 0,7$. Погрешность для значений K при заданной доверительной вероятности 0,95 составляет 0,088.

Таким образом, с помощью рассмотренного лабораторного метода определения массовой скорости выгорания различных веществ и мате-

риалов возможно получать необходимые экспериментальные данные и, используя (2), проводить расчет температурного режима пожара в помещении [6].

ЛИТЕРАТУРА

1. Монахов В. Т. Методы исследования пожарной опасности веществ.— М.: Химия, 1979.
2. Демидов П. Г., Саушев В. С. Горение и свойства горючих веществ.— М.: ВИПТШ, 1975.
3. Ильин В. В., Федоров А. И., Григорьева И. Н. // Противопожарная защита подземных сооружений метрополитенов: Сб. науч. тр.— М.: ВНИИПО, 1984.
4. Абдурагимов И. М., Андронос А. С., Самотаев А. В. Пожарное дело, 1985, 7, 24.
5. Harmathy T. Z. Fire Technology, 1972, 8, 3, 196; 4, 326.
6. Руководство по расчету температурного режима пожара в помещениях жилых зданий.— М.: ВНИИПО, 1983.

Поступила в редакцию 10/IV 1987,
после доработки — 14/IX 1987

УДК 541.124

ВЛИЯНИЕ ОБРАБОТКИ ПОВЕРХНОСТИ РЕАКТОРА НА СТРУКТУРУ ХОЛОДНОГО ПЛАМЕНИ АЦЕТАЛЬДЕГИДА С КИСЛОРОДОМ

A. K. Апоян, Г. К. Арцруни, Г. А. Арутюнян,

A. B. Налбанян

(Ереван)

Ранее установлено, что основные закономерности низкотемпературного и предхолоднопламенного окисления ацетальдегида обусловлены гетерогенно-радикальным распадом надуксусной кислоты — основного промежуточного продукта реакции, ответственного за вырожденное разветвление цепей [1, 2]. Показано, что кинетические характеристики окисления ацетальдегида во многом определяются материалом и геометрическими параметрами реакционной поверхности. Между тем механизм этой реакции, протекающей в режиме горения, сравнительно мало изучен [3—6]. В частности, не выявлено влияние материала контактирующей поверхности на кинетику образования и расходования пероксидных радикалов. В настоящей работе поставлена задача — установить влияние свойств поверхности на закономерности холодного пламени ацетальдегида с кислородом. С этой целью определены и сопоставлены характеристики структуры пламени в пирексовом реакторе, обработанном как самой реакцией, так и хлоридом калия.

Методика эксперимента. Опыты проводили на вакуумно-струевой установке, подробное описание которой приведено в [7]. Реактором служила помещенная в электропечь 1 (рис. 1) пирексовая трубка 6 внутренним диаметром $d = 2,8$ см, с обоих торцов которой вставлены стабилизаторы 5 — пучки пирексовых капилляров ($d = 0,2$ см), покрытых оксидом магния. Покрытие и малый диаметр стабилизаторов обеспечивают эффективный гетерогенный обрыв цепей и теплоотвод реагирующей смеси [7—10], что приводит к тому, что поступающая во входные капилляры предварительно перемешанная смесь не воспламеняется и уже на некотором расстоянии от входных капилляров воспроизводимо тушится. Такой метод стабилизации, ранее апробированный при исследовании горения H_2 с O_2 [8], не нарушает ламинарности потока газов, позволяет фиксировать фронт пламени в заданном участке реактора, а также совмещать реакционную зону с отрезком равномерного распределения температуры печи.